

# ЭФФЕКТЫ НЕУПРУГОГО СПИН-ЗАВИСЯЩЕГО ЭЛЕКТРОННОГО ТРАНСПОРТА ЧЕРЕЗ СПИНОВУЮ НАНОСТРУКТУРУ В МАГНИТНОМ ПОЛЕ

*B. B. Вальков<sup>a,b,c\*</sup>, C. B. Аксенов<sup>a,b</sup>*

*<sup>a</sup> Институт физики Сибирского отделения Российской академии наук  
660036, Красноярск, Россия*

*<sup>b</sup> Сибирский федеральный университет  
660041, Красноярск, Россия*

*<sup>c</sup> Сибирский государственный аэрокосмический университет им. М. Ф. Решетнева  
660014, Красноярск, Россия*

Поступила в редакцию 30 сентября 2009 г.  
после переработки 28 декабря 2010 г.

В приближении сильной связи при использовании формализма Ландауэра–Буттикера исследованы транспортные и вольт-амперные характеристики (ВАХ) системы спиновых димеров с антиферромагнитной связью, расположенных между металлическими контактами. Показано, что  $s-d(f)$ -обменное взаимодействие между спиновыми моментами транспортируемых электронов и спинами наноструктуры приводит как к созданию потенциального профиля, так и к его изменению за счет спин-флип-процессов. В результате спин-зависящий транспорт становится неупругим, а коэффициент прохождения и ВАХ — сильно модифицированными. Обнаружено, что включение магнитного поля индуцирует дополнительные пики прозрачности в спектральной характеристике системы и вызывает эффект колossalного магнито-сопротивления.

## 1. ВВЕДЕНИЕ

Прогресс последних десятилетий в области экспериментальных исследований на нанометровых масштабах привел к необходимости развития теоретического описания квантового транспорта в наноструктурах. На сегодняшний день существует большое количество работ, отражающих существенное влияние транспортируемых частиц на проводящие свойства наноразмерных объектов. Ярким примером такого воздействия может служить эффект кулоновской блокады, возникающий в результате кулоновского отталкивания между электроном, находящимся в на-ноустройстве, и туннелирующим электроном [1–3].

В такой ситуации транспорт в значительной степени определяется неупругими процессами, обусловленными изменениями потенциального рельефа структуры за счет взаимодействия с проходящим электроном. В частности, неупругие эффекты,

обусловленные электрон-фононным взаимодействием и сильными электронными корреляциями, активно проявляются в транспортных характеристиках молекулярных контактов. Неупругий характер квантового транспорта в таких структурах вызывает нелинейное поведение ВАХ и проводимости, отрицательную дифференциальную проводимость, динамическое переключение и переключение токового шума, гистерезис тока, нагрев молекулярного контакта, возникновение резонанса Кондо [4–7]. Нетривиальные свойства проводящих молекулярных контактов обуславливают значительный интерес к этим системам как к потенциальным составным частям приборов наноэлектроники [8].

Идея использования спиновых степеней свободы в качестве дополнительного канала для хранения и передачи информации получила широкое развитие в современных экспериментальных и теоретических исследованиях и способствовала обоснованию отдельного направления, так называемой спиновой электроники [9, 10]. В этой области неупругие

---

\*E-mail: vvv@iph.krasn.ru

спин-спиновые взаимодействия также играют существенную роль. Известно, в частности, что посредством  $s-d(f)$ -обменного взаимодействия между спиновыми моментами электронов проводимости и спиновыми моментами атомов ферромагнитного нанослоя реализуется управление его намагниченностью без приложения внешнего магнитного поля. В качестве механизма, способного инициировать переключение намагниченности, было предложено использовать действие поверхностного крутильного момента на намагниченность ферромагнетика [11, 12]. В дальнейшем был разработан объемный механизм инжекции неравновесных спинов [13, 14]. Другим примером влияния неупругого  $s-d(f)$ -обменного взаимодействия на проводящие свойства наноразмерных объектов служат эксперименты и теория по сканирующей тунNELьной микроскопии, где исследуются транспортные свойства магнитных одиночных атомов, а также комплексов из их небольшого числа, адсорбированных на металлическую подложку в присутствии сильных магнитных полей при низких температурах [15–18].

В последние годы интенсивно исследуются транспортные явления, относящиеся как к области молекулярной электроники, так и к спINTRонике. Например, для случая магнитных электродов, между которыми находятся молекулярные структуры, влияние неупругих спин-спиновых и электрон-фоновых взаимодействий значительно оказывается на электронной заселенности, плотности состояний, спин-зависящем токе и тунNELьном магнитосопротивлении [19, 20]. Таким образом, перспективным представляется исследование эффектов неупругого спин-зависящего транспорта в магнитных наноструктурах, таких как одиночные атомы или кластеры на металлических поверхностях [21] или магнитные молекулы [22]. Такие системы могут проявлять сильную анизотропию, достаточную для поддержания устойчивой спиновой ориентации при низких температурах. Значительная анизотропия отдельных атомов подобных нанокластеров интересна в качестве возможности уменьшения магнитных битов ниже размеров, при которых домены сегодняшних тонкопленочных магнитных материалов становятся неустойчивыми при комнатных температурах. Большой интерес в системах с выраженной магнитной анизотропией представляет изучение влияния внешнего магнитного поля на их проводящие характеристики.

В данной работе представлены результаты расчетов транспортных характеристик наноструктуры, представленной системой спиновых димеров, рас-

положенной между металлическими контактами во внешнем магнитном поле. Спиновый димер, находящийся в основном синглетном состоянии и имеющий возбужденные триплетные состояния, является распространенной конфигурацией спиновой подсистемы у ряда молекул и молекулярных структур. Неупругое рассеяние электронов проводимости на потенциальном рельфе рассматриваемой наноструктуры возникает за счет спин-спинового  $s-d(f)$ -обменного взаимодействия между спиновыми моментами транспортируемых частиц и спиновыми моментами димеров. Однако неупругое взаимодействие при этом не вызывает диссиpации энергии, т. е. транспорт является когерентным и его описание может осуществляться в рамках формализма Ландауэра–Буттикара [23, 24].

## 2. ПОСТАНОВКА ЗАДАЧИ И ГАМИЛЬТОНИАН

Рассмотрим спин-поляризованный электронный ток через две плоскости магнитоактивных атомов, представляющие собой систему спиновых димеров, которую для краткости в дальнейшем будем называть устройством. Будем предполагать, что устройство находится между металлическими электродами, которые, в свою очередь, соединены с электронными резервуарами в виде макроскопических металлических контактов. Схематическая система изображена на рис. 1. Поскольку резервуары являются макроскопическими проводниками, много большими чем электроды, электроны, входящие в резервуар, термализованы и обладают температурой и химическим потенциалом контакта перед их возвращением в устройство. Таким образом, контакты должны быть безотражательными. Это означает, что электрон, падающий на контакт, будет полностью поглощен и термализован перед его повторным излучением в устройство [25]. Электроды предполагаются идеальными и, вообще говоря, могут быть приготовлены из разных металлов.

Дальнейшее описание будет осуществляться в приближении сильной связи. Кроме того, для простоты будем пренебрегать перескоками и обменными взаимодействиями в направлениях, перпендикулярных оси  $x$ . Таким образом, транспорт ансамбля электронов в рассматриваемой системе сводится к прохождению отдельной частицы по отдельной одномерной цепочке. Отдельная цепочка образована областями левого и правого металлических электродов, а также центральной областью наноустрой-

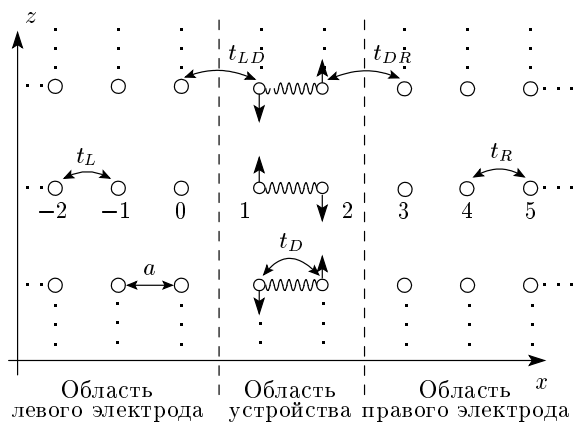


Рис. 1. Профиль наноустройства, связанного с металлическими контактами

ства — спиновым димером. На протяжении всей цепочки расстояние между узлами подразумевается одинаковым и равным  $a$ . Гамильтониан отдельной цепочки может быть представлен в виде

$$\hat{H} = \hat{H}_L + \hat{H}_R + \hat{H}_{LD} + \hat{H}_{DR} + \\ + \hat{H}_{De} + \hat{H}_{sf} + \hat{H}_D + U(n). \quad (1)$$

Здесь первые два слагаемых — это электронные гамильтонианы левого  $L$  и правого  $R$  контактов, которые в представлении вторичного квантования в приближении сильной связи можно записать как

$$\hat{H}_L = \sum_{\sigma, n=-\infty}^0 [\varepsilon_{L\sigma} c_{n\sigma}^+ c_{n\sigma} + \\ + t_L (c_{n\sigma}^+ c_{n-1,\sigma} + c_{n-1,\sigma}^+ c_{n\sigma})], \quad (2)$$

$$\hat{H}_R = \sum_{\sigma, n=3}^{\infty} [\varepsilon_{R\sigma} c_{n\sigma}^+ c_{n\sigma} + \\ + t_R (c_{n+1,\sigma}^+ c_{n\sigma} + c_{n\sigma}^+ c_{n+1,\sigma})], \quad (3)$$

где  $c_{n\sigma}^+$  ( $c_{n\sigma}$ ) — оператор рождения (уничтожения) электрона проводимости со спином  $\sigma$  на узле  $n$  контакта  $\alpha$  ( $\alpha = L, R$ ),  $\varepsilon_{\alpha\sigma} = \varepsilon_\alpha - g_e \mu_B H \sigma$ ,  $t_\alpha$  — соответственно одноэлектронная спин-зависящая энергия на узле во внешнем магнитном поле  $\mathbf{H}$  и интеграл перескока на контакте  $\alpha$ . Ось  $z$  ориентирована вдоль направления магнитного поля. Третий и четвертый члены описывают перескоки электронов проводимости между устройством и контактами,

$$\hat{H}_{LD} = \sum_{\sigma} t_{LD} (c_{1\sigma}^+ c_{0\sigma} + c_{0\sigma}^+ c_{1\sigma}), \quad (4)$$

$$\hat{H}_{DR} = \sum_{\sigma} t_{DR} (c_{3\sigma}^+ c_{2\sigma} + c_{2\sigma}^+ c_{3\sigma}). \quad (5)$$

Пятый член гамильтониана описывает поведение электронов в устройстве,

$$\hat{H}_{De} = \sum_{\sigma, n=1}^2 [\varepsilon_{D\sigma} c_{n\sigma}^+ c_{n\sigma} + t_D (c_{2\sigma}^+ c_{1\sigma} + c_{1\sigma}^+ c_{2\sigma})]. \quad (6)$$

Неупругий характер транспорта электронов связан с наличием слагаемого  $\hat{H}_{sf}$  в общем гамильтониане (1), которое отвечает за  $s-d(f)$ -обменное взаимодействие между спиновыми моментами электронов проводимости и спинами димера,

$$\hat{H}_{sf} = \frac{A_{sf}}{2} \sum_{n=1}^2 \left[ \left( c_{n\uparrow}^+ c_{n\downarrow} \hat{S}_n^- + c_{n\downarrow}^+ c_{n\uparrow} \hat{S}_n^+ \right) + \left( c_{n\uparrow}^+ c_{n\uparrow} - c_{n\downarrow}^+ c_{n\downarrow} \right) \hat{S}_n^z \right], \quad (7)$$

где  $A_{sf}$  — параметр  $s-d(f)$ -обменного взаимодействия,  $\hat{S}_n^+$ ,  $\hat{S}_n^-$ ,  $\hat{S}_n^z$  — спиновые операторы димера на узле  $n$ .

Оператор  $\hat{H}_D$  в гамильтониане (1) описывает обменное взаимодействие между спиновыми моментами димеров, находящихся в устройстве, а также их зеемановскую энергию в магнитном поле  $H$ . В изотропном случае этот оператор записывается в виде

$$\hat{H}_D = I (\mathbf{S}_1 \cdot \mathbf{S}_2) - g_D \mu_B H (S_1^z + S_2^z), \quad (8)$$

где  $I$  — параметр обменного взаимодействия спинов димера. В дальнейшем предполагается, что  $I > 0$ . Это означает, что между спиновыми моментами реализуется обменная связь антиферромагнитного типа. Следовательно, при относительно слабых магнитных полях ( $g_D \mu_B H < I$ ) основному состоянию димера соответствует синглетное состояние.

Последний член в гамильтониане характеризует потенциальную энергию электронов во внешнем электрическом поле, обусловленном разностью потенциалов на контактах  $V$ . Как известно, вид вольт-амперной характеристики существенно зависит от конкретного профиля потенциала в области между электродами. В работе, для простоты, мы ограничимся рассмотрением транспортных характеристик в предположении, что потенциал изменяется линейно вдоль центральной области.

### 3. СТАЦИОНАРНЫЕ СОСТОЯНИЯ

При записи решений уравнения Шредингера следует учитывать изменение состояния спинового димера, индуцируемое воздействием пролетающего электрона. Анализ  $s-d(f)$ -оператора показывает,

что слагаемое, пропорциональное  $\sigma^z S^z$ , индуцирует перевод димера из синглетного состояния  $D_{00}$  в триплетное  $D_{10}$  без изменения проекции спина у транспортируемого электрона, а слагаемое, пропорциональное  $\sigma^- S^+$ , приводит к переводу димера из синглетного состояния  $D_{00}$  в триплетное  $D_{11}$  с одновременным изменением проекции спина у транспортируемого электрона. Поэтому полное гильбертово пространство представляет собой произведение подпространства для транспортируемого электрона и подпространства спинового димера. В качестве базиса гильбертова пространства выберем базис состояний, каждое из которых характеризует спиновое состояние транспортируемого электрона на узле  $n$ , а также одно из четырех состояний спинового димера. С учетом сказанного этот базис будем обозначать посредством  $D_{JJ_z} c_{n\sigma}^+ |0\rangle$ , где  $D_{JJ_z}$  соответствует состоянию спинового димера с суммарным спиновым моментом  $J$  и проекцией этого момента  $J_z$  на ось квантования  $z$ ,  $|0\rangle$  — вакуумное состояние, обозначающее состояние системы без электрона. В выбранных обозначениях четыре состояния димера описываются выражениями

$$\begin{aligned} D_{00} &= \frac{1}{\sqrt{2}} (|\uparrow\downarrow\rangle - |\downarrow\uparrow\rangle), \\ D_{10} &= \frac{1}{\sqrt{2}} (|\uparrow\downarrow\rangle + |\downarrow\uparrow\rangle), \\ D_{11} &= |\uparrow\uparrow\rangle, \quad D_{1,-1} = |\downarrow\downarrow\rangle, \end{aligned} \quad (9)$$

где использованы дираковские кет-векторы  $|\sigma_1 \sigma_2\rangle$ . Каждый из этих четырех кет-векторов описывает состояние, в котором первый спин димера имеет проекцию  $\sigma_1$ , а второй —  $\sigma_2$ .

В соответствии с принятой системой обозначений решение уравнения Шредингера для случая, когда транспортируемый из левого контакта электрон обладал проекцией спинового момента  $\sigma = +1/2$ , а спиновый димер находился в синглетном состоянии, записывается в виде

$$|\Psi_L\rangle = \sum_n \left[ w_{n\uparrow} c_{n\uparrow}^+ D_{00} + u_{n\uparrow} c_{n\uparrow}^+ D_{10} + v_{n\downarrow} c_{n\downarrow}^+ D_{11} \right] |0\rangle. \quad (10)$$

Примешивание триплетных состояний димера описывается двумя последними слагаемыми и связано с разобранными выше процессами, индуцируемыми  $s-d(f)$ -обменным взаимодействием электрона с локализованными моментами спинового димера.

Будем считать, что инжектируемый левым контактом электрон обладает волновым вектором  $k_L$ .

Тогда выражения для парциальных амплитуд в левом ( $n \leq 0$ ) и правом ( $n \geq 3$ ) контактах можно представить в виде

$$\begin{aligned} n \leq 0 : \quad w_{n\uparrow} &= e^{ik_L n a} + r_{00} e^{-ik_L n a}, \\ u_{n\uparrow} &= r_{10} e^{-iq_L n a}, \quad v_{n\downarrow} = r_{11} e^{-ip_L n a}, \\ n \geq 3 : \quad w_{n\uparrow} &= t_{00} e^{ik_R n a}, \\ u_{n\uparrow} &= t_{10} e^{iq_R n a}, \quad v_{n\downarrow} = t_{11} e^{ip_R n a}, \end{aligned} \quad (11)$$

где  $r_{00}$ ,  $r_{10}$ ,  $r_{11}$  — амплитуды, возникновение которых связано с процессами отражения от потенциальной структуры димера, при этом димер находится соответственно в синглетном и триплетном состояниях;  $t_{00}$ ,  $t_{10}$ ,  $t_{11}$  — амплитуды, описывающие процессы прохождения электрона, при которых димер остается соответственно в синглетном и триплетных состояниях;  $k_L$ ,  $k_R$ ,  $q_L$ ,  $q_R$ ,  $p_L$ ,  $p_R$  — волновые векторы. Содержание индексов у амплитуд  $r$ ,  $t$  аналогично ранее обсуждавшимся индексам для спиновых волновых функций димера. Введенные волновые векторы связаны с энергией электрона в левом контакте посредством дисперсионных соотношений

$$\begin{aligned} E &= \varepsilon_L + U(1) + 2t_L \cos k_L a, \\ E &= \varepsilon_L + U(1) + I + 2t_L \cos q_L a, \\ E &= \varepsilon_L + U(1) + I + (2-g_D)\mu_B H + 2t_L \cos p_L a. \end{aligned} \quad (12)$$

Аналогично для правого контакта выполняются соотношения

$$\begin{aligned} E &= \varepsilon_R + U(2) + 2t_R \cos k_R a, \\ E &= \varepsilon_R + U(2) + I + 2t_R \cos q_R a, \\ E &= \varepsilon_R + U(2) + I + (2-g_D)\mu_B H + 2t_R \cos p_R a. \end{aligned} \quad (13)$$

Из уравнения Шредингера после приравнивания парциальных амплитуд при ортогональных базисных элементах для  $n = 0, 1, 2, 3$  получаем недостающие двенадцать уравнений (с учетом трех различных спиновых конфигураций системы), приведенные в Приложении (A.1).

Для расчета вольт-амперной характеристики необходимо знать решения и в том случае, когда электрон с проекцией спинового момента  $\sigma = +1/2$  инжектируется правым контактом. В этом случае соотношения (12), (13) остаются в силе, а волновая функция системы записывается в виде

$$|\Psi_R\rangle = \sum_n \left[ w'_{n\uparrow} c_{n\uparrow}^+ D_{00} + u'_{n\uparrow} c_{n\uparrow}^+ D_{10} + v'_{n\downarrow} c_{n\downarrow}^+ D_{11} \right] |0\rangle, \quad (14)$$

где

$$\begin{aligned} n \leq 0 : w'_{n\uparrow} &= t'_{00} e^{-ik_L n a}, \\ u'_{n\uparrow} &= t'_{10} e^{-iq_L n a}, \quad v'_{n\downarrow} = t'_{11} e^{-ip_L n a}, \\ n \geq 3 : w'_{n\uparrow} &= e^{-ik_R n a} + r'_{00} e^{ik_R n a}, \\ u'_{n\uparrow} &= r'_{10} e^{iq_R n a}, \quad v'_{n\downarrow} = r'_{11} e^{ip_R n a}. \end{aligned} \quad (15)$$

Дополнительная система из двенадцати уравнений приведена в Приложении (A.2). В выражениях (12), (13), (A.1), (A.2) проведена ренормировка энергии  $E \rightarrow E + 3I/4 + \mu_B H$ .

Следует подчеркнуть, что дальнейшее рассмотрение будет ограничено изучением одномодового режима. Под этим понимается ситуация, когда в левом (правом) электроде налетающий на устройство электрон для заданного значения энергии описывается состоянием только с одним фиксированным значением волнового вектора  $k_L$  ( $k_R$ ). Вместе с тем для отраженных от устройства волн, а также для прошедших через устройство волн примешиваются состояния с другими значениями волновых векторов. Это связано с наличием внутренних степеней свободы у димерного устройства. Из-за  $s-d(f)$ -обменной связи внутренние степени свободы участвуют в процессе рассеяния и индуцируют дополнительные состояния всей системы в целом. Таким образом, присутствие нескольких подзон в энергетическом спектре электронов для всей системы, отличающихся значениями квантовых чисел полного спинового момента димера  $\hat{J}_D$  и его проекции  $\hat{J}_{Dz}$ , вызвано отмеченным  $s-d(f)$ -взаимодействием. В этом состоит одно из отличий от распространенных мезоскопических систем, в которых многомодовый режим квантовых проволок, образующих электроды, связан с учетом пространственного квантования [25].

#### 4. КОЭФФИЦИЕНТ ПРОХОЖДЕНИЯ

Решение полученных систем уравнений определяет амплитуды отражения  $r_{00}$ ,  $r_{10}$ ,  $r_{11}$  и прохождения  $t_{00}$ ,  $t_{10}$ ,  $t_{11}$ . После их вычисления можно перейти к нахождению коэффициентов отражения  $R$  и прохождения  $T$ . Для этого воспользуемся квазиклассическими выражениями для плотностей падающего  $j_{inc}$ , отраженного  $j_{ref}$  и прошедшего  $j_{tr}$  потоков вероятности

$$\begin{aligned} j_{inc} &= \frac{1}{\hbar} \frac{\partial E}{\partial k_L}, \\ j_{tr} &= \frac{1}{\hbar} \left[ \frac{\partial E}{\partial k_R} |t_{00}|^2 + \frac{\partial E}{\partial q_R} |t_{10}|^2 + \frac{\partial E}{\partial p_R} |t_{11}|^2 \right], \\ j_{ref} &= \frac{1}{\hbar} \left[ \frac{\partial E}{\partial k_L} |r_{00}|^2 + \frac{\partial E}{\partial q_L} |r_{10}|^2 + \frac{\partial E}{\partial p_L} |r_{11}|^2 \right]. \end{aligned} \quad (16)$$

Как известно, коэффициент прохождения  $T$  определяется через отношение плотности прошедшего потока вероятности к плотности падающего потока вероятности  $T = |j_{tr}|/|j_{inc}|$  [26]. Соответственно этому, получаем

$$T = \begin{cases} T_{00} + T_{10} + T_{11}, & 0 < k_R, q_R, p_R < \pi/a, \\ T_{00} + T_{10}, & 0 < k_R, q_R < \pi/a, \\ T_{00}, & 0 < k_R < \pi/a, \end{cases} \quad (17)$$

где

$$\begin{aligned} T_{00} &= \frac{|t_R|}{|t_L|} \frac{\sin k_R a}{\sin k_L a} |t_{00}|^2, \\ T_{10} &= \frac{|t_R|}{|t_L|} \frac{\sin q_R a}{\sin k_L a} |t_{10}|^2, \\ T_{11} &= \frac{|t_R|}{|t_L|} \frac{\sin p_R a}{\sin k_L a} |t_{11}|^2 \end{aligned} \quad (18)$$

— парциальные вклады в общий коэффициент прохождения  $T$  от состояний, в которых димер имеет соответственно синглетную или триплетные спиновые конфигурации. Коэффициент отражения  $R = |j_{ref}|/|j_{inc}|$  определяется выражением

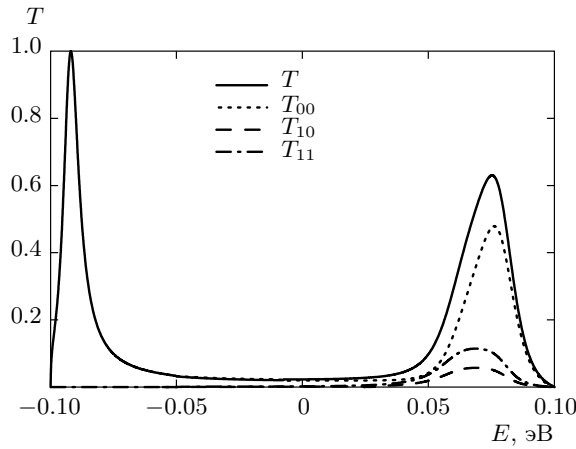
$$R = \begin{cases} R_{00} + R_{10} + R_{11}, & 0 < k_L, q_L, p_L < \pi/a, \\ R_{00} + R_{10}, & 0 < k_L, q_L < \pi/a, \\ R_{00}, & 0 < k_L < \pi/a, \end{cases} \quad (19)$$

где

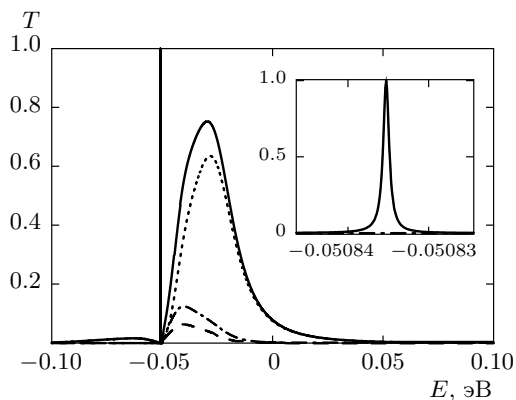
$$\begin{aligned} R_{00} &= |r_{00}|^2, \quad R_{10} = \frac{\sin q_L a}{\sin k_L a} |r_{10}|^2, \\ R_{11} &= \frac{\sin p_L a}{\sin k_L a} |r_{11}|^2. \end{aligned} \quad (20)$$

Число не равных нулю парциальных вкладов соответствует числу решений дисперсионных уравнений для волновых векторов, лежащих в пределах первой зоны Бриллюэна. Величины  $R$  и  $T$  удовлетворяют закону сохранения полной вероятности, т. е.  $R + T = 1$ .

Характерное поведение коэффициента прохождения  $T(E)$  и его парциальных составляющих  $T_{00} = T_{00}(E)$ ,  $T_{10} = T_{10}(E)$ ,  $T_{11} = T_{11}(E)$  при изменении энергии входящих электронов из левого электрода представлено на рис. 2. На графике выделяются две области, где зависимости от энергии этих величин существенно различаются. В области  $E < -0.05$  эВ полный коэффициент прохождения определяется только теми процессами, при которых не происходят переходы димеров в триплетные состояния. При  $E > -0.05$  эВ происходит включение процессов, приводящих к возбуждению димеров в



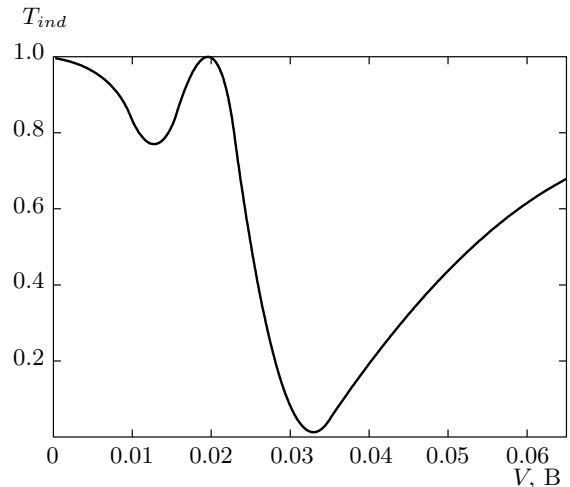
**Рис. 2.** Зависимость общего коэффициента прохождения  $T$  и его парциальных компонент  $T_{00}$ ,  $T_{10}$  и  $T_{11}$  от энергии налетающего электрона для параметров  $\varepsilon_L = \varepsilon_D = \varepsilon_R = 0$ ,  $t_L = t_R = -0.05$  эВ,  $t_{LD} = t_{DR} = -0.025$  эВ,  $t_D = -0.0375$  эВ,  $\mu_B H = 0$ ,  $I = 0.05$  эВ,  $A_{sf} = 0.15$  эВ,  $V = 0$



**Рис. 3.** Зависимость общего коэффициента прохождения  $T$  и его парциальных компонент  $T_{00}$ ,  $T_{10}$  и  $T_{11}$  от энергии налетающего электрона для параметров  $t_L = t_R = -0.05$  эВ,  $t_{LD} = t_{DR} = -0.025$  эВ,  $t_D = -0.0375$  эВ,  $\mu_B H = 0.25$  мэВ,  $I = 0.05$  эВ,  $A_{sf} = 0.15$  эВ,  $\varepsilon_L = \varepsilon_R = 0$ ,  $\varepsilon_D = -0.09$  эВ,  $V = 0$ . На вставке: индуцирование магнитным полем пика резонансного прохождения

триплетные состояния. Поэтому полный коэффициент  $T$  формируется с учетом вкладов от возбужденных состояний электрона и димера (штриховая и штрихпунктирная кривые рис. 2).

В области низких энергий, когда электроны рассеиваются на потенциальном профиле димера, находящегося в основном синглетном состоянии, включение магнитного поля может привести к возникнове-

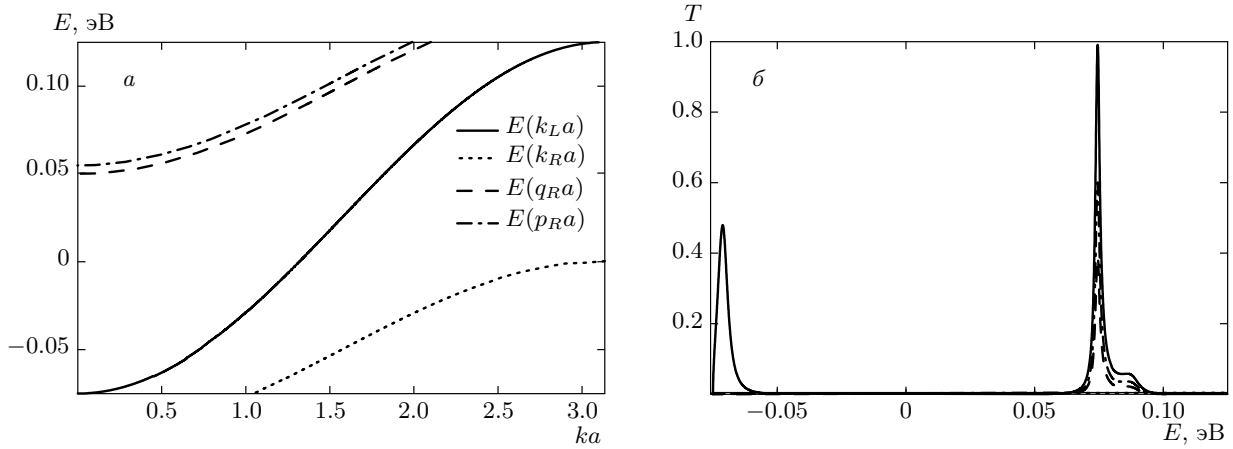


**Рис. 4.** Зависимость величины пика, наведенного магнитным полем,  $T_{ind}$ , от величины напряжения для параметров  $t_L = t_R = -0.05$  эВ,  $t_{LD} = t_{DR} = -0.025$  эВ,  $t_D = -0.0375$  эВ,  $\mu_B H = 0.25$  мэВ,  $I = 0.1$  эВ,  $A_{sf} = 0.15$  эВ,  $\varepsilon_L = \varepsilon_R = 0.05$  эВ,  $\varepsilon_D = -0.6$  эВ

нию дополнительных резонансных пиков, как это показано на вставке к рис. 3. В представленном случае продемонстрировано появление одного из двух пиков в магнитном поле, когда одноэлектронная энергия на узлах устройства  $\varepsilon_D$  отлична от аналогичного параметра электродов  $\varepsilon_L$  и  $\varepsilon_R$ . Качественно схожая ситуация имеет место и при других значениях параметров системы. Пик при  $E \approx -0.025$  эВ соответствует правому пику на рис. 2 ( $E \approx 0.075$  эВ), который смещается влево при увеличении модуля  $\varepsilon_D$ . Эффект индуцирования магнитным полем окон прозрачности отмечался ранее авторами при рассмотрении задач о неупругом спин-зависящем электронном транспорте через модельные спиновые наноструктуры в непрерывной среде [27, 28].

Включение электрического поля, как видно из рис. 4, вызывает заметные изменения величины этих пиков. При построении рис. 4 считалось, что к правому контакту приложено электрическое напряжение так, что  $-eV = U(2) - U(1)$ . Поэтому  $\mu_R = \mu_L - eV$ , где  $\mu_R$  и  $\mu_L$  — электрохимические потенциалы соответственно левого и правого контактов. Отмеченное предположение будет использоваться в дальнейшем в работе при расчете ВАХ.

Изменяя параметры системы, можно добиться возникновения запрещенной зоны по энергии (энергетический диапазон  $0 < E < 0.05$  эВ на рис. 5a) для электронов в правом контакте. Соответственно,



**Рис. 5.** Зонная структура (*а*) и зависимость общего коэффициента прохождения  $T$  и его парциальных компонент  $T_{00}$ ,  $T_{10}$  и  $T_{11}$  от энергии налетающего электрона (*б*) для параметров  $t_L = -0.05$  эВ,  $t_R = -0.025$  эВ,  $t_{LD} = t_D = t_{DR} = -0.0125$  эВ,  $\mu_B H = 0.005$  эВ,  $I = 0.15$  эВ,  $A_{sf} = 0.15$  эВ,  $\varepsilon_L = 0.025$  эВ,  $\varepsilon_D = -0.0375$  эВ,  $\varepsilon_R = -0.05$  эВ,  $V = 0$

электроны, падающие на димер из левого контакта и имеющие энергию из данного диапазона, испытывают полное отражение (см. рис. 5 $\beta$ ).

## 5. ВОЛЬТ-АМПЕРНАЯ ХАРАКТЕРИСТИКА

Учитывая, что электронная плотность, связанная с одним  $k$ -состоянием в проводнике длиной  $L$ , равна  $1/L$ , получим, что в квазиклассическом приближении ток  $I_{LR}$ , переносимый состоянием рассеяния (10), определяется выражением ( $m = 00, 10, 11$ ;  $k_{00} = k_R$ ,  $k_{10} = q_R$ ,  $k_{11} = p_R$ )

$$I_{LR} = \frac{e}{L} \sum_m \sum_k \frac{1}{\hbar} \left( \frac{\partial E}{\partial k} \right)_{k=k_m} T_m(E) f_L(E), \quad (21)$$

где  $f_L(E) \equiv f(E - \mu_L)$  — фермиевская функция распределения электронов. Переходя от суммирования по квазипульсу к интегрированию по энергии, получаем

$$I_{LR} = \frac{e}{\hbar} \sum_m \int dE T_m(E) f_L(E). \quad (22)$$

При конечных температурах необходимо учитывать поток электронов из правого контакта в левый. Поэтому ток, переносимый состояниями (14), можно записать аналогично  $I_{LR}$ , а именно

$$I_{RL} = \frac{e}{\hbar} \sum_m \int dE T'_m(E) f_R(E), \quad (23)$$

где  $f_R(E) \equiv f(E - \mu_R)$ ,  $T'_m$  — парциальные коэффициенты прохождения для электрона, падающего на устройство из правого электродра, которые определяются следующими выражениями:

$$\begin{aligned} T'_{00} &= \frac{|t_L|}{|t_R|} \frac{\sin k_L a}{\sin k_R a} |t'_{00}|^2, \\ T'_{10} &= \frac{|t_L|}{|t_R|} \frac{\sin q_L a}{\sin k_R a} |t'_{10}|^2, \\ T'_{11} &= \frac{|t_L|}{|t_R|} \frac{\sin p_L a}{\sin k_R a} |t'_{11}|^2. \end{aligned} \quad (24)$$

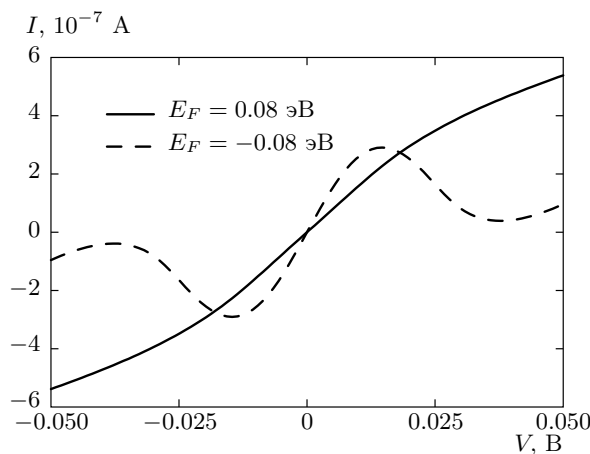
Результирующий ток определяется выражением

$$I = I_{LR} - I_{RL} = \frac{e}{\hbar} \times \sum_m \int dE [T_m(E) f_L(E) - T'_m(E) f_R(E)], \quad (25)$$

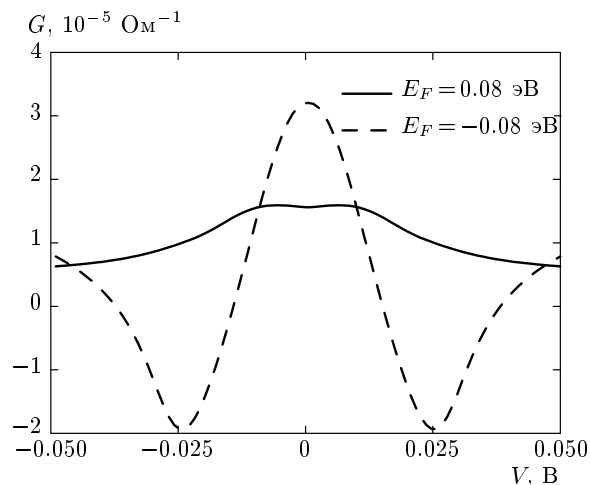
которое эквивалентно формуле, получаемой в рамках формализма Ландауэра — Буттикара [29].

Таким образом, электронный транспорт в рассматриваемой системе можно интерпретировать как транспорт по трем эффективным каналам, возникающим благодаря наличию возбужденных состояний спинового димера. В каждом канале электроны проводимости имеют свою проекцию спиновых моментов: в двух из них спины поляризованы по магнитному полю, а в третьем — противоположно.

Типичные вольт-амперная характеристика и дифференциальная проводимость  $G(V) = dI/dV$  устройства, использующего спиновый димер в качестве активного элемента, расположенного

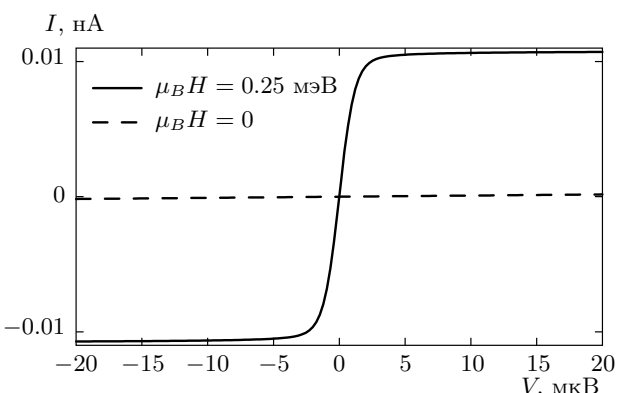


**Рис. 6.** ВАХ спинового димера, вычисленная для параметров  $\varepsilon_L = \varepsilon_D = \varepsilon_R = 0$ ,  $t_L = t_R = -0.05$  эВ,  $t_{LD} = t_{DR} = -0.025$  эВ,  $t_D = -0.05$  эВ,  $\mu_B H = 0.005$  эВ,  $I = 0.075$  эВ,  $A_{sf} = 0.125$  эВ,  $T \approx 30$  К при двух значениях энергии Ферми контактов



**Рис. 7.** Дифференциальная проводимость спинового димера, вычисленная для рис. 6

между металлическими электродами, представлена соответственно на рис. 6 и рис. 7. Из вида представленных зависимостей следует, что увеличение энергии Ферми в левом контакте приводит к качественному изменению ВАХ. При малых значениях энергии Ферми, когда в транспорте принимают участие только низкоэнергетические электроны, ВАХ содержит участки с отрицательной дифференциальной проводимостью. Это происходит в режиме, когда триплетные состояния димера не возбуждаются и неупругие процессы не включены. Заметим, что возникновение областей с отрицательной дифференциальной проводимостью



**Рис. 8.** Влияние магнитного поля на ВАХ в результате индуцирования пика прозрачности для параметров рис. 3,  $E_F \approx -0.051$  эВ и  $T \approx 3$  мК

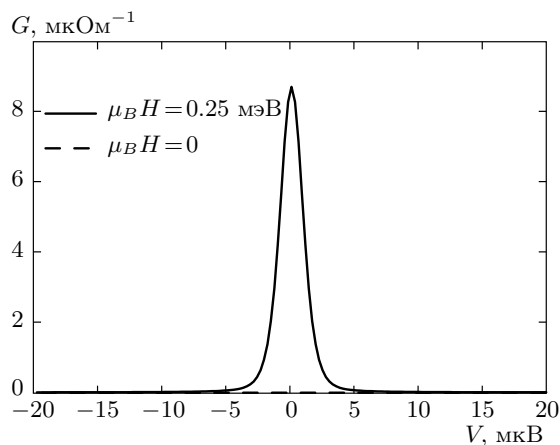
обнаруживалось, в частности, в экспериментах по сканирующей тунNELьной микроскопии, где транспорт осуществляется через молекулярные комплексы и отдельные молекулы, адсорбированные на поверхности металлов [30].

В случае больших значений энергии Ферми, когда энергия электронов достаточна для перевода димеров в возбужденные состояния и транспорт становится неупругим, области с отрицательной дифференциальной проводимостью в ВАХ исчезают. При этом с хорошей степенью точности получающаяся ВАХ соответствует закону Ома.

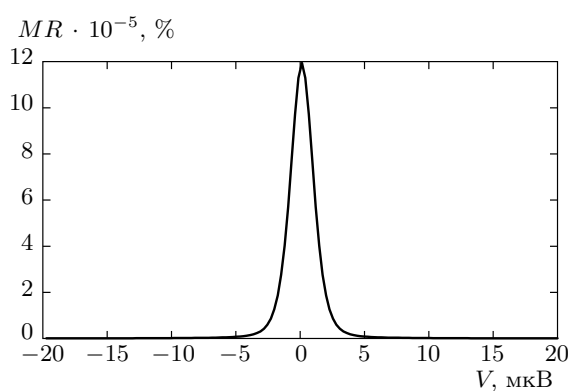
Ранее отмечалось, что включение магнитного поля может приводить к нетривиальному изменению транспортных свойств исследуемой системы. В частности, было показано, что при определенных условиях магнитное поле способно индуцировать дополнительные пики прозрачности для транспортируемого электрона. Очевидно, что этот эффект должен проявляться и в ВАХ системы, изображенной на рис. 8. Видно, что при значениях напряжения порядка одного микровольта ВАХ имеет сильную нелинейную зависимость, а дифференциальная проводимость, представленная на рис. 9, обладает резким максимумом.

Приведенные результаты показывают, что в рассмотренной области параметров исследуемая система будет характеризоваться аномально большим магнитосопротивлением  $MR = (G(H)/G(0) - 1) \times 100\%$ . Соответствующие расчеты зависимости магнитосопротивления от приложенного напряжения показаны на рис. 10.

Видно, что изменение сопротивления в магнитном поле может достигать  $10^5\%$ . Заметим, что вы-



**Рис. 9.** Влияние магнитного поля на проводимость в результате индуцирования пика прозрачности для параметров рис. 3,  $E_F \approx -0.051$  эВ и  $T \approx 3$  мК



**Рис. 10.** Магнитосопротивление для параметров рис. 3,  $E_F \approx -0.051$  эВ и  $T \approx 3$  мК

сокие значения магнитосопротивления получаются достаточно часто для устройств, основанных на использованииnanoструктурных элементов.

## 6. ЗАКЛЮЧЕНИЕ

Проведенное рассмотрение квантового транспорта электронов через спин-димерную систему позволило установить ряд принципиальных особенностей, связанных с наличием у этой системы внутренних степеней свободы. Главная из них обусловлена тем, что потенциальный профиль

для транспортируемого электрона формируется за счет  $s-d(f)$ -обменного взаимодействия спинового момента электрона со спиновыми моментами nanoструктуры. Поэтому для синглетного состояния димера, когда спиновая конфигурация описывается когерентной суперпозицией состояний с различными значениями проекций спиновых моментов на ось квантования, изинговская часть  $s-d(f)$ -обменного взаимодействия приводит к формированию смеси потенциальных профилей типа «барьер–яма», «яма–барьер» и т. д. Конкретная реализация этих профилей определяется спиновой поляризацией транспортируемого электрона. Это индуцирует спин-поляризационную зависимость транспортных характеристик рассматриваемой nanoструктуры. Поперечная часть  $s-d(f)$ -обменного взаимодействия вызывает перевод состояния спинового димера из синглетного в возбужденные триплетные состояния с одновременным изменением потенциального профиля структуры. Именно эти эффекты ответственны за существенные модификации транспортных характеристик nanoструктур при увеличении энергии электронов и включении магнитного поля.

Примешивание возбужденных триплетных состояний димерной подсистемы приводит к появлению дополнительных каналов как в отраженных от структуры состояниях, так и в состояниях, определяющих вклад в коэффициент прохождения. В таких каналах из-за обменного взаимодействия внутри димерной подсистемы значение квазимпульсов для электронных волн может значительно отличаться от квазимпульса электрона, налетающего на структуру. При этом транспортные характеристики рассматриваемой системы определяются в результате когерентной суперпозиции состояний с несколькими квазимпульсами.

Отмеченные эффекты определяют особенности ВАХ спин-димерной системы. Одна из них связана с исчезновением участка отрицательной дифференциальной проводимости при возрастании энергии Ферми. Подчеркнем, что только для случая, когда энергия Ферми относительно мала и кинетической энергии электронов недостаточно для возбуждения димерной подсистемы, ВАХ имеет участки отрицательной дифференциальной проводимости. Для больших значений энергий Ферми, когда электроны способны переводить спиновые димеры в возбужденные состояния и инициировать отмеченные выше дополнительные каналы транспорта, дифференциальная проводимость становится всюду положительной.

В заключение остановимся на эффекте, обусловленном индуцированием магнитным полем дополнительных пиков прозрачности в спектральной характеристике системы. Как показано в заключительной части работы, следствием этого эффекта является качественное изменение вида ВАХ системы и возникновение колossalного магнитосопротивления. Выше отмечалось, что дополнительные пики прозрачности возникают в магнитном поле только в том случае, когда принимаются во внимание спин-флип-процессы. Это обстоятельство позволяет утверждать, что при рассмотрении эффектов спин-зависящего транспорта, обусловленных взаимодействием пролетающих электронов со спиновыми степенями свободы рассеивающей структуры, учет процессов, приводящих к изменению спиновой конфигурации наноструктуры, может иметь кардинальное значение для создания рассеивающих наноструктур, обладающих колossalным магнито-

сопротивлением.

Работа выполнена в рамках программы Отделения физических наук РАН, Федеральной целевой программы «Научные и научно-педагогические кадры инновационной России на 2009–2013 гг.», Междисциплинарного интеграционного проекта СО РАН № 53, а также РФФИ (грант № 09-02-00127). Исследование одного из авторов (С. В. А.) поддержано грантом Президента РФ (МК-1300.2011.2).

## ПРИЛОЖЕНИЕ

### Система уравнений для амплитуд

Для случая, когда электрон со спином 1/2 падает из левого электрода на димер, находящийся в синглетном состоянии, система уравнений на амплитуды отражения и прохождения имеет вид

$$\begin{aligned}
 t_L (e^{-ik_L a} + r_{00} e^{ik_L a}) + (\varepsilon_L + U(1) - E) (1 + r_{00}) + t_{LD} w_{1\uparrow} &= 0, \\
 t_{LD} (1 + r_{00}) + (\varepsilon_D + U(1) - E) w_{1\uparrow} + \frac{A_{sf} u_{1\uparrow}}{4} - \frac{A_{sf} v_{1\downarrow}}{2\sqrt{2}} + t_D w_{2\uparrow} &= 0, \\
 t_D w_{1\uparrow} + (\varepsilon_D + U(2) - E) w_{2\uparrow} - \frac{A_{sf} u_{2\uparrow}}{4} + \frac{A_{sf} v_{2\downarrow}}{2\sqrt{2}} + t_{DR} t_{00} e^{3ik_R a} &= 0, \\
 t_{DR} w_{2\uparrow} + (\varepsilon_R + U(2) - E) t_{00} e^{3ik_R a} + t_R t_{00} e^{4ik_R a} &= 0, \\
 t_L r_{10} e^{iq_L a} + (\varepsilon_L + U(1) + I - E) r_{10} + t_{LD} u_{1\uparrow} &= 0, \\
 t_{LD} r_{10} + (\varepsilon_D + U(1) + I - E) u_{1\uparrow} + \frac{A_{sf} w_{1\uparrow}}{4} + \frac{A_{sf} v_{1\downarrow}}{2\sqrt{2}} + t_D u_{2\uparrow} &= 0, \\
 t_D u_{1\uparrow} + (\varepsilon_D + U(2) + I - E) u_{2\uparrow} - \frac{A_{sf} w_{2\uparrow}}{4} + \frac{A_{sf} v_{2\downarrow}}{2\sqrt{2}} + t_{DR} t_{10} e^{3iq_R a} &= 0, \\
 t_{DR} u_{2\uparrow} + (\varepsilon_R + U(2) + I - E) t_{10} e^{3iq_R a} + t_R t_{10} e^{4iq_R a} &= 0, \\
 t_L r_{11} e^{ik_{11L} a} + (\varepsilon_L + U(1) + (2 - g_D) \mu_B H + I - E) r_{11} + t_{LD} v_{1\downarrow} &= 0, \\
 t_{LD} r_{11} + \left( \varepsilon_D + U(1) + (2 - g_D) \mu_B H + I - \frac{A_{sf}}{4} - E \right) v_{1\downarrow} + \frac{A_{sf}}{2\sqrt{2}} (u_{1\uparrow} - w_{1\uparrow}) + t_D v_{2\downarrow} &= 0, \\
 t_D v_{1\downarrow} + \left( \varepsilon_D + U(2) + (2 - g_D) \mu_B H + I - \frac{A_{sf}}{4} - E \right) v_{2\downarrow} + \frac{A_{sf}}{2\sqrt{2}} (u_{2\uparrow} + w_{2\uparrow}) + t_{DR} t_{11} e^{3ip_R a} &= 0, \\
 t_{DR} v_{2\downarrow} + (\varepsilon_R + U(2) + (2 - g_D) \mu_B H + I - E) t_{11} e^{3ip_R a} + t_R t_{11} e^{4ip_R a} &= 0.
 \end{aligned} \tag{A.1}$$

Аналогично, в ситуации, когда электрон со спином 1/2 падает из правого электрода на димер, находящийся в синглетном состоянии, система уравнений на амплитуды отражения и прохождения может быть записана следующим образом:

$$\begin{aligned}
& t_L t'_{00} e^{ik_L a} + (\varepsilon_L + U(1) - E) t'_{00} + t_{LD} w_{1\uparrow} = 0, \\
& t_{LD} t'_{00} + (\varepsilon_D + U(1) - E) w_{1\uparrow} + \frac{A_{sf} u_{1\uparrow}}{4} - \frac{A_{sf} v_{1\downarrow}}{2\sqrt{2}} + t_D w_{2\uparrow} = 0, \\
& t_D w_{1\uparrow} + (\varepsilon_D + U(2) - E) w_{2\uparrow} - \frac{A_{sf} u_{2\uparrow}}{4} + \frac{A_{sf} v_{2\downarrow}}{2\sqrt{2}} + t_{DR} (e^{-3ik_R a} + r'_{00} e^{3ik_R a}) = 0, \\
& t_{DR} w_{2\uparrow} + (\varepsilon_R + U(2) - E) (e^{-3ik_R a} + r'_{00} e^{3ik_R a}) + t_R (e^{-4ik_R a} + r'_{00} e^{4ik_R a}) = 0, \\
& t_L t'_{10} e^{iq_L a} + (\varepsilon_L + U(1) + I - E) t'_{10} + t_{LD} u_{1\uparrow} = 0, \\
& t_{LD} t'_{10} + (\varepsilon_D + U(1) + I - E) u_{1\uparrow} + \frac{A_{sf} w_{1\uparrow}}{4} + \frac{A_{sf} v_{1\downarrow}}{2\sqrt{2}} + t_D u_{2\uparrow} = 0, \\
& t_D u_{1\uparrow} + (\varepsilon_D + U(2) + I - E) u_{2\uparrow} - \frac{A_{sf} w_{2\uparrow}}{4} + \frac{A_{sf} v_{2\downarrow}}{2\sqrt{2}} + t_{DR} r'_{10} e^{3iq_R a} = 0, \\
& t_{DR} u_{2\uparrow} + (\varepsilon_R + U(2) + I - E) r'_{10} e^{3iq_R a} + t_R r'_{10} e^{4iq_R a} = 0, \\
& t_L t'_{11} e^{ip_L a} + (\varepsilon_L + U(1) + (2 - g_D) \mu_B H + I - E) t'_{11} + t_{LD} v_{1\downarrow} = 0, \\
& t_{LD} t'_{11} + \left( \varepsilon_D + U(1) + (2 - g_D) \mu_B H + I - \frac{A_{sf}}{4} - E \right) v_{1\downarrow} + \frac{A_{sf}}{2\sqrt{2}} (u_{1\uparrow} - w_{1\uparrow}) + t_D v_{2\downarrow} = 0, \\
& t_D v_{1\downarrow} + \left( \varepsilon_D + U(2) + (2 - g_D) \mu_B H + I - \frac{A_{sf}}{4} - E \right) v_{2\downarrow} + \frac{A_{sf}}{2\sqrt{2}} (u_{2\uparrow} + w_{2\uparrow}) + t_{DR} r'_{11} e^{3ip_R a} = 0, \\
& t_{DR} v_{2\downarrow} + (\varepsilon_R + U(2) + (2 - g_D) \mu_B H + I - E) r'_{11} e^{3ip_R a} + t_R r'_{11} e^{4ip_R a} = 0.
\end{aligned} \tag{A.2}$$

## ЛИТЕРАТУРА

1. C. J. Gorter, Physica **17**, 777 (1951).
2. K. K. Likharev, IBM J. Res. Dev. **32**, 144 (1988).
3. H. Ishikuro, T. Fujii, T. Saraya et al., Appl. Phys. Lett. **68**, 3585 (2009).
4. M. Galperin, M. A. Ratner, and A. Nitzan, Phys. Rev. B **74**, 075326 (2006).
5. T. Frederiksen, M. Paulsson, M. Brandbyge et al., Phys. Rev. B **75**, 205413 (2007).
6. M. Galperin, M. A. Ratner, A. Nitzan et al., Science **319**, 1056 (2008).
7. П. И. Арсев, Н. С. Маслова, УФН **180**, 1197 (2010).
8. J. M. Tour, *Molecular Electronics: Commercial Insights, Chemistry, Devices, Architecture, and Programming*, World Scientific, Singapore (2003).
9. G. A. Prinz et al., Science **282**, 1660 (1998).
10. S. A. Wolf, D. D. Awschalom, R. A. Buhrman et al., Science **294**, 1488 (2001).
11. J. C. Slonczewski, J. Magn. Magn. Mater. **159**, L1 (1996).
12. L. Berger, Phys. Rev. B **54**, 9353 (1996).
13. Ю. В. Гуляев, П. Е. Зильберман, Э. М. Эпштейн и др., ЖЭТФ **127**, 1138 (2005).
14. Ю. В. Гуляев, П. Е. Зильберман, А. И. Панас и др., ЖЭТФ **134**, 1200 (2008).
15. A. J. Heinrich, J. A. Gupta, C. P. Lutz et al., Science **306**, 466 (2004).
16. C. F. Hirjibehedin, C. P. Lutz, and A. J. Heinrich, Science **312**, 1021 (2006).
17. C. F. Hirjibehedin, C.-Y. Lin, A. F. Otte et al., Science **317**, 1199 (2007).
18. J. Fernández-Rossier, Phys. Rev. Lett. **102**, 256802 (2009).
19. G.-Y. Sun, C.-X. Wu, Y. Chen et al., Eur. Phys. J. B **49**, 459 (2006).
20. R.-Q. Wang, Y.-Q. Zhou, B. Wang et al., Phys. Rev. B **75**, 045318 (2007).
21. P. Gambardella, S. Rusponi, M. Veronese et al., Science **300**, 1130 (2003).

22. D. Gatteschi, R. Sessoli, and J. Villain, *Molecular Nanomagnets*, Oxford University Press, Oxford (2006).
23. R. Landauer, IBM J. Res. Dev. **1**, 223 (1957).
24. M. Büttiker, IBM J. Res. Dev. **32**, 317 (1988).
25. H. Bruus and K. Flensberg, *Many-body Quantum Theory in Condensed Matter Physics: An Introduction*, Oxford University Press, Copenhagen (2004).
26. Л. Д. Ландау, Е. М. Лифшиц, *Квантовая механика (нерелятивистская теория)*, Наука, Москва (2001).
27. В. В. Вальков, С. В. Аксенов, Изв. РАН, Сер. физ. **74**, № 1, 6 (2010).
28. В. В. Вальков, С. В. Аксенов, Изв. РАН, Сер. физ. **74**, № 5, 763 (2010).
29. S. Datta, *Electronic Transport in Mesoscopic Systems*, Cambridge University Press, Cambridge (1995).
30. J. M. Seminario, *Molecular and Nano Electronics: Analysis, Design, and Simulation*, Elsevier, Oxford (2007).